

بررسی تأثیر دمای عملیات هیدرونرمال بر ترکیب شیمیایی، مورفولوژی و پایداری حرارتی نانوذرات هیدروکسی آپاتیت سنتز شده در حضور عامل فعال سطحی

مهمناز سالاریان (کارشناس ارشد)
 واحد علم و تحقیقات، دانشگاه آزاد اسلامی تهران

مهوان صولتی هشجین (استادیار)

سیده سارا شفیعی (دانشجوی دکتری)
دانشکده مهندسی برقی، دانشگاه صنعتی امیرکبیر

علی نعمتی (دانشیار)
دانشکده مهندسی و علم مواد، دانشگاه صنعتی شریف

رضا سالاریان (استادیار)
موسسه آموزش عالی مازیار

در نوشته حاضر، سنتز نانومیله‌های هیدروکسی آپاتیت با استفاده از عامل فعال سطحی کاتیونی سنتیل تری متیل آمونیوم برمید (CTAB) و کمک عامل فعال سطحی^۱ غیربیونی پلی‌اتیلن گلیکول (PEG 400) به عنوان عوامل تنظیم‌کننده‌ی جوانزنی و رشد بلور، در شرایط گرمابی (هیدروترمال) گزارش شده است. علاوه بر آن، تأثیر دمای عملیات گرمابی بر ترکیب شیمیایی، مورفولوژی، اندازه ذرات و تغییرات فازی نانوذرات هیدروکسی آپاتیت حاصله با استفاده از شیوه‌های مشخصه‌بایی نظری پراش پرتو ایکس (XRD)، طیف‌سنجی فروسرخ (FTIR) و میکروسکوپ الکترونی روشنی (SEM) مورد بررسی قرار گرفت.

نتایج تحقیق نشان داد در شرایط گرمابی و با بهره‌گیری از عمل الگومانند^۲ و کمک الگومانند^۳ CTAB و PEG، می‌توان مورفولوژی و اندازه ذرات هیدروکسی آپاتیت را به خوبی کنترل کرد. به علاوه، دمای عملیات گرمابی نقش بسیار مهمی در کنترل مورفولوژی و اندازه ذرات هیدروکسی آپاتیت دارد. از سنتز در دمای ۹۰ درجه سانتی‌گراد، ساختار صفحه‌هایی در کنار تعداد محدودی ذرات میله‌بی به دست می‌آید و در دمای ۱۲۰ درجه سانتی‌گراد، محصول سنتز میله‌هایی با نسبت طول به قطری در محدوده ۸ تا ۱۰ است. افزایش دمای گرمابی به ۱۵۰ درجه علاوه بر افزایش نسبت طول به قطر نانومیله‌ها در محدوده ۱۶ تا ۲۰، منجر به افزایش بلورینگی و نیز پیدایش فاز خالص هیدروکسی آپاتیت می‌شود. همچنین، نانومیله‌های سنتز شده در دمای گرمابی بالاتر، مقاومت حرارتی بیشتری در حفظ ترکیب شیمیایی و مورفولوژی میله‌ای از خود نشان می‌دهند.

mehrnazsalarian@gmail.com
solati@aut.ac.ir
shafiei@aut.ac.ir
nemati@sharif.edu
R.Salarian@maziar.ac.ir

وازگان کلیدی: هیدروکسی آپاتیت، سنتز، نانومیله، ماده‌ی فعال سطحی،
مورفولوژی، دمای گرمابی.

۱. مقدمه

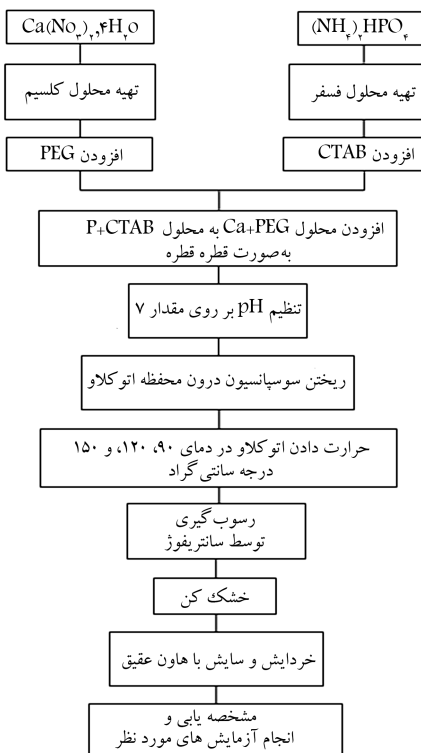
بسیار مطلوبی برخوردار است و کاربردهای گسترده‌بی در حوزه‌ی پزشکی دارد.^[۱-۲] برای مثال می‌توان به کاربردهای آن در جایگزینی استخوان^[۳]، سیمان استخوان و دندان^[۴-۵]، مهندسی بافت استخوان^[۶-۸]، مواد تمییزی در دندان‌پزشکی^[۹]، مواد پیشگیری‌کننده از آسیب‌های دندانی^[۱۰]، سیستم‌های رهایش دارو^[۱۱]، پوشش کاشتی‌های فلزی به‌ویژه تیتانیمی^[۱۲] و ساخت حساسه‌های زیستی^[۱۳] اشاره کرد. اگرچه هیدروکسی آپاتیت به عنوان یک سرامیک زیستی ممتاز مورد توجه است،

هیدروکسی آپاتیت پایدارترین عضو خانواده‌ی فسفات‌های کلسیم در دما و pH بدن انسان است.^[۱] ساختار این ماده‌ی معدنی یک شبکه‌ی بلوری شش ضلعی فشرده، با فرمول شیمیایی $Ca_{10}(PO_4)_6(OH)_2$ است که به دلیل تطابق ساختاری و شیمیایی آن با فاز معدنی بافت سخت بدن انسان (استخوان و دندان)، از سازگاری زیستی

CTAB برابر با 168M^{-1} انتخاب شد. سپس محلول آبی نمک کلسیم با غلظت 0.29M با استفاده از آب دوبار تقطیرشده تهیه شد و در حین هم خودن با همزن مغناطیسی به آن 10 ml پلی اتیلن گلیکول با جرم مولکولی 400 اضافه شد. سپس محلول کلسیم و PEG توسط قیف شیردار، قطره قطره به محلول نخست افزوده شد. واکنش مواد اولیه با یکدیگر حدود 2 ساعت به طول انجامید. پس از آن که تمام محلول کلسیم اضافه شد، pH H_2O با استفاده از محلول NH_4Cl برابر 7 تنظیم شد. سوسپانسیون حاصل بدون پرسازی درون محافظه ای اتوکلاوی از جنس فولاد زنگ‌زن با پوشش داخلی شلون، ریخته شد. درب محافظه ها با پیچ بسته شد و برای حصول اطمینان از آب بندی، با آچار و گیره رومیزی محکم شد. بسته به برنامه آزمایش‌ها، اتوکلاو به مدت 24 ساعت در دماهای مختلف $120^\circ, 90^\circ$ و 150° درجه سانتی‌گراد قرار داده شد. فشار داخلی اتوکلاو 2 مگاپاسکال بود. پس از اتمام عملیات گرمابی و بازکردن درب محافظه ها، ماده‌ی تعلیقی توسط سانتریفوژ رسوب‌گیری شد. رسوب های به دست آمده 3 بار با آب دوبار تقطیرشده شسته شدند و در نهایت به درون ظروف شیشه‌ی منتقل و در داخل خشککن در درجه حرارت 5 ± 90 درجه سانتی‌گراد، به مدت 24 ساعت خشک شدند. توده‌ی به دست آمده با هاون عقیق به طور دستی سایده و به پودر نرم تبدیل شد. در شکل 1 نمودار جریان کار سنتز نمونه‌های آزمایشی نشان داده شده است. شرایط انجام این سنتز در جدول 1 معرفی می‌شود.

۲.۲. عملیات حرارتی پودر

پودرهای به دست آمده از مرحله‌ی قبل، در بوته‌های آلمینیمی به حجم 5cm^3 ریخته شدند و به مدت 1 ساعت داخل کوره‌ی الکتریکی آزمایشگاهی، مجهز به المان‌های حرارتی مولیبدن‌دی سیلیساید و با قابلیت دست‌یابی به بیشینه دمای 1700° درجه



شکل 1 . نمودار جریان کار سنتز نمونه‌های آزمایشی.

یکی از موانع عدمه در بهره‌گیری کلینیکی از آن - به عنوان ایمپلنت متحمل بار - به‌ویژه در محیط‌های آبی، «تربدون مکانیکی» آن است.^[۷] یکی از علل این امر حساسیت شدید هیدروکسی آپاتیت به رشد ترک است. هنگامی که هیدروکسی آپاتیت در محیط آبی قرار بگیرد، هرچه زمان نگهداری بیشتر شود مقاومت به رشد ترک در آن کمتر می‌شود. با گذشت زمان مولکول‌های آب در سطح جذب می‌شوند و باعث افزایش سرعت نفوذ ترک می‌شوند.^[۸]

عموماً استحکام شکست و قرمگی شکست ماد سرامیکی با توزیع بلورهای میله‌ای شکل یا طره‌ها (whiskers) در ماد به طور مؤثر بهبود می‌یابد. لذا به نظر می‌رسد بلورهای میله‌ای شکل و طره‌های هیدروکسی آپاتیت می‌توانند به عنوان موادی برای بهبود خواص مکانیکی مواد زیستی سنتز مفید باشند.^[۹] به علاوه، کاهش قطره‌ی اندازه‌ی طول فیبرها و میله‌ها به افزایش چشم‌گیر استحکام می‌انجامد.^[۱۰] از این‌رو، تهیه‌ی نانومیله‌های هیدروکسی آپاتیت در این تحقیق مورد مطالعه و بررسی قرار گرفته است. به طور کلی سه شیوه‌ی اصلی برای سنتز هیدروکسی آپاتیت وجود دارد: 1 . رسوپ از محلول (روش ترا)^[۱۱]; 2 . روش خشک^[۱۲]; 3 . روش گرمابی.^[۱۳] استفاده از روش گرمابی برای سنتز آپاتیت، با این ایده انجام می‌شود که عموماً درجه‌ی تبلور پودرهای هیدروکسی آپاتیت رسوپ داده شده به روش‌های محلول بسیار اندک است. در روش گرمابی ماده‌ی اولیه متابسی را در درجه حرارت و فشار بالا در محیط آبی قرار می‌دهند. ماده‌ی آغازین معمولاً هیدروکسی آپاتیت تهیه شده به روش‌های دیگر - به‌ویژه به روش رسوپ از محلول - است. محصول پودر حاصل از روش گرمابی (هیدروترمال) عموماً از درجه تبلور بالایی برخوردار است و دارای نسبت مولی Ca/P برابر با $1/6.7$ (نسبت اتمی Ca/P در هیدروکسی آپاتیت کاملاً استوکیومتری) است.^[۱۴] گزارش‌های زیادی از روش معمولی گرمابی وجود دارد، اما رویکرد اصلی که باعث رواج این روش شده، استفاده از عوامل فعال سطحی و عوامل کمک فعال سطحی در سنتز گرمابی هیدروکسی آپاتیت است. در چند سال اخیر گزارش‌های بسیار زیادی از سنتز نانوذرات تک بعدی (نانومیله، نانوسيم، نانوفیبر و...) با استفاده از عوامل فعال سطحی ارائه شده است. تصور می‌شود عوامل فعال سطحی به عنوان الگو عمل کرده و با عمل الگوسازی منجر به رشد محصول در یک جهت می‌شوند.^[۱۵-۱۷]

در این تحقیق از عامل فعال سطحی کاتیونی ستیل تری متیل آمونیوم بر می‌ید به عنوان عامل الگوساز، به منظور کنترل مراحل جوانه‌زنی و رشد بلور هیدروکسی آپاتیت استفاده شد. علاوه بر آن از کمک عامل فعال سطحی غیریونی پلی اتیلن گلیکول به منظور شتویق عمل الگوسازی CTAB استفاده شد. همچنین تأثیر دمای عملیات گرمابی بر ترکیب شیمیایی، مورفولوژی، اندازه ذرات و مقاومت حرارتی هیدروکسی آپاتیت حاصله بررسی شد و شرایط بهینه برای تهیه‌ی نانومیله‌های هیدروکسی آپاتیت تحت شرایط گرمابی به دست آمد.

۲. روش تحقیق

۲.۱. سنتز نانو ذرات هیدروکسی آپاتیت

برای تهیه‌ی نانوذرات هیدروکسی آپاتیت میله‌ای، از محلول‌های آبی نمک‌های $4\text{H}_2\text{O}$ ، $(\text{NH}_4)_2\text{HPO}_4$ و $\text{Ca}(\text{NO}_3)_2$ به ترتیب به عنوان منبع یون کلسیم و فسفات استفاده شد. به محلول فسفات، ماده‌ی فعال سطحی (CTAB) و به محلول کلسیم، کمک‌سرفتگت (PEG ۴۰۰) افزوده شد. ابتدا محلول آبی نمک فسفات با غلظت 24M^{-1} حاوی CTAB با استفاده از آب دوبار تقطیرشده، تهیه شد. غلظت



شکل ۲. تصاویر ریزبینی الکترونی روپوشی.

نمونه شماره ۳ تا دمای 80°C درجه سانتی‌گراد قادر به حفظ شکل میله‌یی است (شکل ۲ و) و بعد از حرارت‌دیدن در دمای 100°C درجه سانتی‌گراد، ساختار کروی حاصل می‌شود (شکل ۲ ز). با انجام عملیات حرارتی در دمای 80°C و 100°C درجه سانتی‌گراد بر روی نمونه شماره ۴، مشخص شد نانومیله‌ها تا دمای 100°C درجه سانتی‌گراد شکل میله‌مانند خود را به خوبی حفظ می‌کنند (ج و ۲ ط) و با افزایش دمای عملیات حرارتی به 120°C درجه سانتی‌گراد، ذرات شکل ۲ ط) آنها به چشم می‌خورد. در این حالت، قطر میله‌ها در حدود 80 nm تا 120 nm و نسبت طول به قطر آنها بین 10 تا 15 است (شکل ۲ ج).

ایجاد ساختار میله‌مانند ناشی از حضور عوامل فعال سطحی (PEG و CTAB) است. عامل فعال سطحی CTAB نقش چندگانه‌یی در سنتز هیدرولکسی‌آپاتیت ایفا می‌کند. نخست آن که افزودن CTAB امکان مخلوط‌شدن یکنواخت و هموزن مواد خام را تسهیل می‌کند. دوم این که CTAB همانند سایر عوامل فعال سطحی قادر

جدول ۱. معرفی شرایط سنتز نمونه‌های آزمایشی.

شماره نمونه	دماهای گرمابی	عامل فعال سطحی (CTAB+PEG ۴۰۰)
۱	۱۵۰ درجه سانتی‌گراد	ندارد
۲	۹۰ درجه سانتی‌گراد	دارد
۳	۱۲۰ درجه سانتی‌گراد	دارد
۴	۱۵۰ درجه سانتی‌گراد	دارد

سانتی‌گراد در دمای 80°C ، 100°C و 120°C درجه سانتی‌گراد حرارت داده شدند. اتمسفر کوره هوای معمولی بود و هیچ‌گونه تمیه‌دادات خاصی اعمال نشد.

۳.۲. تحلیل فازی و بررسی مورفولوژی

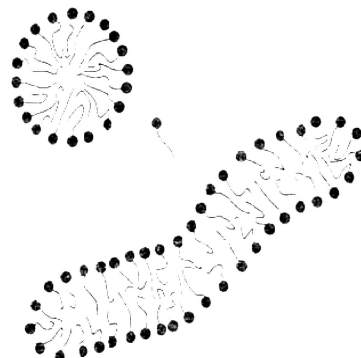
ترکیب شیمیایی و میزان بلورینگی پودرها با استفاده از الگوهای پراش پرتو ایکس (XRD) که توسط دستگاه پراش‌سنیج مدل D4 ساخت شرکت بروکر با استفاده از پرتو $\text{CuK}\alpha$ مس با طول موج $1,540.6\text{ nm}$ در 40°C کیلوولت و 30 miliAmp به دست آمدند، بررسی شد. محدوده زوایای مورد مطالعه بین 10° تا 70° درجه بود. مورفولوژی و اندازه ذرات با استفاده از میکروسکوپ الکترونی روپوشی (SEM) مدل XL³⁰ ساخت شرکت فیلیپس مطالعه شد. سطح نمونه‌ها به روش لایه‌نشانی فیزیکی (PVD) طلاپوش شد.

برای بررسی تکمیلی و تشخیص پیوندهای موجود از دستگاه طیف‌سنجی فروسرخ (FTIR) مدل ۵۵ Equinox ساخت شرکت بروکر در محدوده عدد موج 4000 cm^{-1} در حالت عبوری استفاده شد. نمونه‌ها با KBr به عنوان رقیق‌کننده مخلوط و سپس پرس شدند و به صورت قرص درآمدند.

۳. نتایج و بحث

۳.۱. مطالعات میکروسکوپ الکترونی روپوشی

در شکل ۲ تصاویر مربوط به ریزبینی الکترونی روپوشی نمونه‌ها نمایش داده شده است. چنان‌که در تصویر ریزبینی الکترونی روپوشی نمونه ۱ مشخص است (شکل ۲ الف)، ذرات در مقیاس نانومتری تولید شده‌اند و کروی‌شکل با قطر حدوداً 50 تا 80 nm هستند. در حضور عوامل فعال سطحی و انجام عملیات گرمابی در دمای 90°C درجه سانتی‌گراد (نمونه ۲) همان‌طور که در شکل ۲ ب مشخص است، ساختار صفحه‌یی در کنار تعدادی ذرات میله‌یی با قطر 100 تا 120 nm نانومتر و نسبت طول به قطر 6 تشکیل شده است. تصویر ریزبینی الکترونی روپوشی نمونه ۳ بیان‌گر این است که با افزایش دمای عملیات گرمابی تا 120°C درجه سانتی‌گراد، ساختار یکنواختی از ذرات میله‌یی به وجود می‌آید گرچه تمایل به کاوه‌هایی شدن در آنها به چشم می‌خورد. در این حالت، قطر میله‌ها در حدود 80 nm تا 120 nm و نسبت طول به قطر آنها بین 10 تا 15 است (شکل ۲ ج). با انجام عملیات گرمابی در دمای 150°C درجه سانتی‌گراد، نسبت طول به قطر ذرات افزایش چشم‌گیری پیدا می‌کند. در این حالت ذرات بسیار طویل میله‌یی با قطری در حدود 40 الی 80 nm نانومتر و نسبت طول به قطر 16 تا 20 به چشم می‌خورند (شکل ۲ د). با انجام عملیات حرارتی در دمای 80°C درجه سانتی‌گراد بر روی نمونه شماره ۲، آنچه از شکل ۲ هـ. برمی‌آید نشان‌گر تمایل ذرات به در هم ادغام شدن، و نیز نمایش ساختار یکنواختی از ذرات کروی است. در حالی که،



شکل ۳. نمایش تغییر شکل مایسیل کروی به مایسیل میله‌بی.

غیرقطبهی نظیر آلکان‌ها، از رشد مایسیل‌ها جلوگیری می‌کنند و ترکیبات آروماتیک و الکل‌ها القاء‌گر رشد مایسیل‌ها هستند و حتی می‌توانند عامل کاهش CMC باشند. درنتیجه، افزودن PEG که مانند سایر الکل‌ها از گروه هیدروکسیل برخوردار است، موجبات رشد هرچه بیشتر مایسیل‌های ناشی از عملکرد CTAB را فراهم سازد. علاوه بر این، PEG قادر به ایجاد ساختارهای بلند زنجیره‌ی در محلول‌های آبی است.^[۱۰] ساختارهای زنجیره‌ی مولکول PEG همانند مارهایی به میان لوله‌ها و مایسیل‌های $-PO_4^{3-}$ و $CTAB - PO_4^{3-}$ که به منزله‌ی ساختاری متخلخل در نظر گرفته می‌شوند می‌خزند و مانع از تجمع و به هم پیوستن نانومیله‌ها می‌شوند. در واقع PEG تغییردهنده‌ی نیروهای الکترواستاتیکی است و اثر عظیم PEG‌ها، امکان نشستن تدریجی کلسیم‌ها و فسفات‌ها در مایسیل‌ها، و درنتیجه تکمیل ساختار بلور را فراهم می‌سازند.

افزایش نسبت طول به قطر ذرات و یکنواختی شکل ذرات حاصله، برای افزایش دما به این دلیل است که خواص فیزیکی شیمیایی عوامل فعال سطحی غیر یونی و بسپارهایی مانند PEG قویاً بستگی به درجه حرارت دارد. برخلاف ترکیبات یونی، با افزایش درجه حرارت حلالیت ترکیبات غیر یونی در آب کاهش می‌یابد و آبگریزی شان افزایش می‌یابد. در این حالت این احتمال وجود دارد که در اثر کاهش قطبیت، سرهای انتهایی (گروه‌های هیدروکسیل) مولکول‌های PEG به طور موازی در کنار هم قرار گیرد و آرایش این گروه‌ها مانند الگویی برای جوانه‌زنی کلسیم فسفات عمل می‌کند. اتصال یون‌های کلسیم با هیدروکسیل‌ها و تشکیل الگوهای $Ca^{2+} - PO_4^{3-}$ موجب می‌شود که با اضافه شدن محلول کلسیم به فسفات الگوهای PEG-HAp حاصل و موجبات رشد هرچه بیشتر ذرات آپاتیت در دمای گرمابی بالاتر تأمین می‌شود.

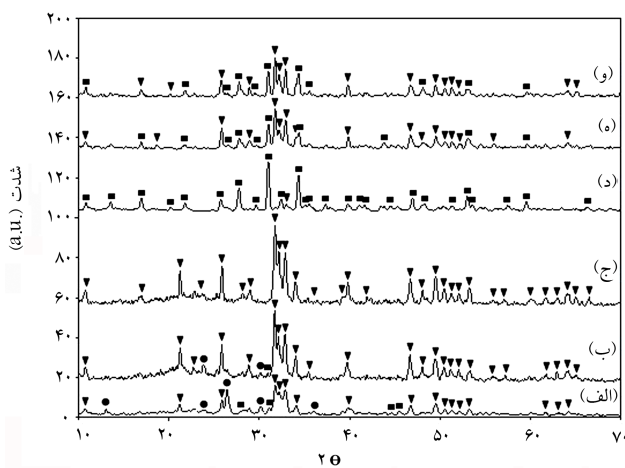
۲.۳. نتایج پراش پرتو ایکس

در شکل ۴ الگوی پلاش پرتو ایکس مربوط به نمونه‌ها ارائه شده است که با کارت‌های استاندارد ۹-۴۲۲ (JCPSDS) (مربوط به هیدروکسی آپاتیت)، ۹-۸۰ (JCPSDS) (مربوط به مونتیت $CaPO_4(OH)$) و ۹-۱۶۹ (JCPSDS) (مربوط به

به ممانعت از تجمع افراطی و بیش از اندازه‌ی نانومیله‌ها است، زیرا عوامل فعال سطحی می‌توانند روی سطح نانومیله‌ها جذب شوند. اما مهم‌ترین نقش CTAB این است که همانند عوامل فعال سطحی دیگر می‌تواند به عنوان یک الگوی نرم^۳ در سنتز نانوذرات تک بعدی عمل کند و با عمل الگوسازی منجر به رشد محصول در یک جهت شود.^[۱۸, ۱۹] CTAB همانند سایر عوامل فعال سطحی، دارای یک غلظت بحرانی، برابر با ۳۰٪، برای تشکیل مایسیل^۵ است. در غلظت‌های بالاتر از CMC، مایسیل‌های کروی به مایسیل‌های میله‌بی تغییر شکل می‌دهند (شکل ۳)، اندازه‌ی مایسیل‌ها شدیداً تحت تأثیر غلظت CTAB است.^[۱۹] در سیستم انتخاب شده در این پژوهش، CTAB به محلول فسفات افزوده شد. در یک سیستم آبی کاملاً CTAB مایسیل‌های کروی به مایسیل‌های میله‌بی انتها ای چهارچه‌ی است. آینون فسفات نیز ساختار فضایی مشابهی دارد. بنابراین CTAB می‌تواند به خوبی با آئینون فسفات ترکیب شود.^[۱۶] درنتیجه، می‌توان گفت محلول‌های $-PO_4^{3-}$ در شکلی تشکیل می‌دهند که تعداد زیادی گروه‌های $-PO_4^{3-}$ را در بر می‌گیرند. هنگامی که محلول Ca^{2+} به محلول $-PO_4^{3-}$ افزوده می‌شود، خوش‌های $Ca_9(PO_4)_6$ ترجیحاً روی سطح مایسیل‌های میله‌بی تشکیل می‌شوند. در واقع مایسیل‌ها به عنوان مکان‌های جوانه‌زنی برای رشد بلورهای هیدروکسی آپاتیت عمل می‌کنند.

البته مایسیل‌ها به راحتی ایجاد نمی‌شوند و فعل کردن عوامل فعال سطحی، موضوع مهمی است که گاهی لازم است از دماهای بالا و ترجیحاً عمليات تكميلی گرمابی استفاده شود. در حین عمليات گرمابی کمپلکس‌های CTAB-HAp تولید، و به هم می‌پيوندد تا در نهایت شکل و ابعاد ذرات هیدروکسی آپاتیت به دست آمده کشتل شود.^[۱۶]

از PEG می‌توان به عنوان کمک عامل فعال سطحی بهره‌جست. در محلول‌های محلول پلیمر - عامل فعال سطحی احتمال به هم پیوستن و نیز برقراری اتصال بین عامل فعال سطحی و بسپار از یک سو، و از سوی دیگر امکان تشکیل مایسیل عامل فعال سطحی در مجاورت زنجیره‌ی بسپار وجود دارد. در بسپارهای دارای گروه‌های آبگریز حالت اول، و در بسپارهای دارای گروه‌های آب دوست (نظیر PEG) حالت دوم پیش‌بینی می‌شود. در این حالت سازوکار تشکیل مایسیل در مقایسه با عدم حضور بسپار، تفاوت چندانی ندارد مگر این که افزودن بسپارهای آب دوست باعث افزایش رشد مایسیل‌ها می‌شود.^[۱۹] زیرا رشد الگوها یا مایسیل‌ها نسبت به حضور سایر حل‌شونده‌ها در محلول شدیداً حساس است. به عنوان مثال، افزودن نمک‌ها باعث بهید و افزایش رشد مایسیل‌ها می‌شود. بسته به سیستم‌های مختلف عوامل فعال سطحی، مولکول‌های حل‌شونده اثرات مختلفی دارند. به طور کلی حل‌شونده‌های



شکل ۴. الگوهای پراش پرتو ایکس: (الف) نمونه‌ی شماره ۲؛ (ب) نمونه‌ی شماره ۳؛ (ج) نمونه‌ی شماره ۴؛ (د) نمونه‌ی شماره ۲ حرارت دیده در ۸۰°C درجه سانتی گراد؛ (ه) نمونه‌ی شماره ۳ حرارت دیده در ۸۰°C درجه سانتی گراد؛ و (ع) نمونه‌ی شماره ۴ حرارت دیده در ۱۰۰°C درجه سانتی گراد. به ترتیب نمایان گر هیدروکسی آپاتیت، مونتیت و ویت‌لوکیت هستند.

ارتفاع بیشینه‌ی پیک بر حسب رادیان، θ_B زاویه‌ی پراش صفحه‌یی که محاسبات روی آن انجام می‌شود، و t اندازه‌ی بلورک‌هاست.^[۱۷]

در الگوی پراش پرتو ایکس نمونه‌ی شماره ۴ که به مدت یک ساعت در دمای ۱۰۰ درجه سانتی‌گراد حرارت داده شد، پیک‌های مربوط به کلسیم فسفات دیگری نیز به چشم می‌خورد که به ویت‌لوكیت ($TCP - \beta$) مربوط است. این بدان معناست که بخشی از هیدروکسی‌آپاتیت مورد نظر در اثر استحاله‌ی فازی به $-TC - \beta$ تبدیل شده است. درنتیجه می‌توان گفت بخشی از ذرات میله‌یی مشاهده شده در شکل ۲-ط ذرات هیدروکسی‌آپاتیت هستند که در راستای > ۵۰۲ رشد کرده بودند و بخشی دیگر ذرات ویت‌لوكیت که در اثر استحاله‌ی فازی حاصل شده‌اند. چنان که از الگوی پراش پرتو ایکس نمونه‌ی شماره ۳ (حرارت داده شده در دمای ۸۰ درجه سانتی‌گراد) برمی‌آید می‌توان این نمونه را کلسیم فسفات دوفازی هیدروکسی‌آپاتیت و $TCP - \beta$ دانست. ترکیب فازی نمونه‌ی شماره ۲ بعد از حرارت دیدن در دمای ۸۰ درجه سانتی‌گراد به سمت فاز خالص $TCP - \beta$ می‌ریزد. درنتیجه می‌توان گفت نمونه‌ی حاصله در دمای گرمابی بالاتر پایداری بیشتری دارد که در شکل ۱ ب میل به رشد جهت دار داشته‌اند. در هیدروکسی‌آپاتیت استوکیومتری دمای انجام استحاله ۱۳۶۰ درجه سانتی‌گراد است که این دما به رطوبت نسبی محیط نیز بستگی دارد. دلیل تبدیل هیدروکسی‌آپاتیت به $TCP - \beta$ در دمای ۸۰ یا ۱۰۰ درجه سانتی‌گراد، وجود ساختار غیراستوکیومتری به واسطه‌ی پایین بودن pH محیط واکنش است.

ویت‌لوكیت ($TCP - \beta$) تطبیق داده شده است. چنان که از الگوی پراش پرتو ایکس (XRD) بودر مربوط به نمونه‌ی شماره ۲ برمی‌آید کلسیم فسفات حاصله در این دما تک فاز هیدروکسی‌آپاتیت نیست. در الگوی XRD این نمونه علاوه بر پیک‌های سه‌گانه منسوب به هیدروکسی‌آپاتیت، پیک ظاهرشده در $2\Theta = ۳۱, ۰, ۲۶$ در کارت استاندارد دارای شدت نسبی برابر با ۱۰۰ واحد است، و نیز پیک ضعیفی که در $2\Theta = ۲۷, ۷۶, ۹$ مشاهده می‌شود (این پیک در کارت استاندارد دارای شدت ۵۵ واحد است) تأییدی بر حضور مقادیر کمی از ویت‌لوكیت در کارت هیدروکسی‌آپاتیت است. علاوه بر آن، شاهد ظهور پیک‌های مشخصه‌ی مونتیت در الگوی پراش مربوط به این نمونه هستیم. در کارت استاندارد مونتیت شدت نسبی صفحه (۲۱۲) برابر با ۱۰۰ واحد است و صفحه (۲۲۰) شدتی برابر با ۲۵ دارد که با نرمال‌کردن آن، عدد $۵, ۰, ۷۵$ به دست می‌آید. توجه به شدت پیک‌ها نشان می‌دهد که در این نمونه شدت پیک نرمال‌شده صفحه (۲۲۰) برابر با $۰, ۹$ و بیشتر از شدت پیک نرمال‌شده‌ی آن در نمونه‌ی استاندارد است. جایه‌جایی شدت صفحات نسبت به نمونه‌ی استاندارد نشان‌دهنده‌ی این است که بخشی از ذرات میله‌یی که در شکل ۱ ب میل به رشد جهت دار داشته‌اند مونتیت‌هایی هستند که صفحات (۲۲۰) در آن‌ها رشد کرده‌اند، هرچند که تمیز دادن آن‌ها از ذرات آپاتیت بسیار دشوار به نظر می‌رسد.

همان‌طورکه در الگوی پراش پرتو ایکس (XRD) نمونه‌ی شماره ۳ مشخص شد، با افزایش دمای گرمابی به ۱۲۰ درجه سانتی‌گراد می‌توان تقریباً تامامی پیک‌ها را به هیدروکسی‌آپاتیت نسبت داد، گرچه شاهد حضور کم رنگ سایر ترکیبات کلسیم فسفاتی نظیر مونتیت و ویت‌لوكیت هستیم که به پایین بودن pH سنتز و نیز دمای عملیات گرمابی نسبت داده می‌شود. شناسایی فازی الگوی XRD نمونه‌ی شماره ۴ مشخص می‌کند که در این نمونه، فقط فاز خالص هیدروکسی‌آپاتیت حضور دارد. در کارت استاندارد هیدروکسی‌آپاتیت، شدت صفحات (۲۱۱) و (۲۱۰) به ترتیب برابر با ۱۰۰ واحد است که با نرمال‌کردن آن، عدد $۴, ۰, ۰$ به دست می‌آید. شدت پیک نرمال‌شده صفحه (۲۰۰) در الگوی پراش پرتو ایکس این نمونه عددی معادل $۴, ۷$ است که مؤید آن است که نانومیله‌های مشاهده شده در شکل ۱ د ذرات تک فاز هیدروکسی‌آپاتیت هستند که در راستای $۲, ۰, ۰$ و به موازات محور c رشد جهت دار داشته‌اند. به همین ترتیب، رشد جهت دار ذرات هیدروکسی‌آپاتیت در راستای $> ۰, ۰, ۲$ در مرور نمونه‌های شماره ۲ و ۳ نیز صادق است.

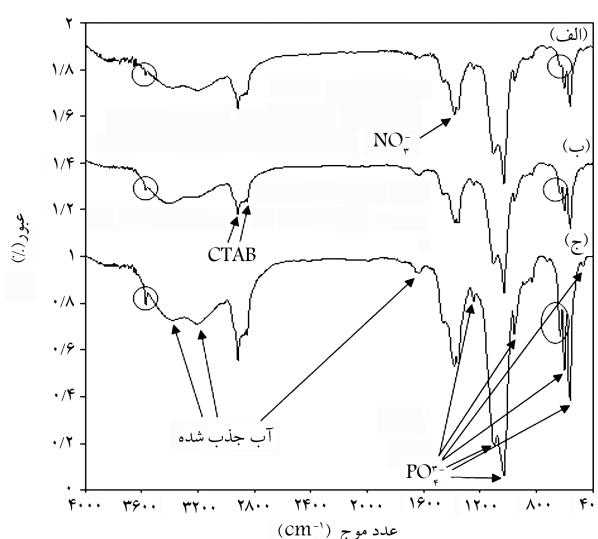
مجموع بررسی‌ها نشان می‌دهد که دست‌یابی به هیدروکسی‌آپاتیت تک فاز فقط در دمای ۱۵۰ درجه سانتی‌گراد امکان‌پذیر است. بررسی میزان بلورینگی نمونه‌ی شماره ۴ با توجه به معیار کمی ارائه شده توسط محققین^[۲۰] و استفاده از رابطه‌ی $I_{۳۰۰} / I_{۱۱۲, ۳۰۰}$ شدت پیک مربوط به صفحه (۳۰۰) شدت درجه موجود بین پیک (۱۱۲) و Xc (۳۰۰) درصد بلورینگی است، نشان داد که ساختار این نمونه آپاتیتی با بلورینگی نسبتاً کامل (۹۵٪) است که درنتیجه‌ی بالابودن دمای عملیات گرمابی ایجاد شده است.

$$X_c = 1 - (V_{112,300} / V_{300}) \quad (1)$$

اندازه‌ی بلورک‌های پودر هیدروکسی‌آپاتیت در این نمونه با استفاده از فرمول Scherrer و برمیانی رابطه‌ی 2 برابر با ۳۰ نانومتر به دست آمد.

$$t = \frac{0, ۹۱\lambda}{B \cos \theta_B} \quad (2)$$

در این معادله λ طول موج پرتو ایکس بر حسب آنگستروم (در اینجا پرتو مورد استفاده، $CuK\alpha$ مس با طول موج ۱۵۴۰۶ نانومتر است)، B پهنای باند در نصف



شکل ۵. طیف‌های فروسرخ: (الف) نمونه‌ی شماره ۲؛ (ب) نمونه‌ی شماره ۳؛ (ج) نمونه‌ی شماره ۴.

۲. افزایش دمای عملیات گرمابی از 90° به 150° درجه سانتی گراد، علاوه بر افزایش بکنوختی شکل و افزایش نسبت طول به قطر نانومیله ها، منجر به افزایش بلورینگی و نیز پیدایش فاز خالص هیدروکسی آپاتیت می شود. ذرات هیدروکسی آپاتیت به دست آمده در دمای 150° درجه سانتی گراد بعد از حرارت دیدن در محدوده 80° تا 125° درجه سانتی گراد، مقاومت بیشتری در حفظ شکل میله ای و ترکیب شیمیایی از خود نشان می دهد.

۳. مطالعات الگوهای پراش پرتوایکس نشان داد رشد جهت دار نانومیله ها در راستای $< 100\bar{2}$ و به موازات محور c صورت گرفته است.

۴. بررسی های طیف سنجی فروسرخ نشان داد نانوذرات سنتز شده حاوی کربنات اندکی هستند. هیدروکسی آپاتیت کربنات از نظر سازگاری زیستی برآپاتیت خالص ترجیح داده می شود، ولی اگر هدف حذف یون های کربنات از محصول باشد برای سنتز باید از اتمسفر آرگون یا نیتروژن استفاده کرد.

۵. با توجه به شکل میله ای و نسبت طول به قطر بسیار بالا و نیز ابعاد نانومتری هیدروکسی آپاتیت تهیه شده در حضور عامل فعال سطحی که در دمای 150° درجه سانتی گراد تحت عملیات گرمابی قرار گرفت، به نظر می رسد این پودر از ویژگی های مناسب برای بهبود خواص مکانیکی مواد زیستی سنتزی برخوردار است.

جذب مشخصه مربوط به هیدروکسیل با افزایش دمای عملیات گرمابی واضح تراو از شدت بیشتری برخوردار شده اند. این بدان معناست که با افزایش دمای گرمابی شاهد افزایش بلورینگی هستیم. در هر سه نمونه پیک های منسوب به کربنات در عدد موج های 670 ، 882 و 1465 cm^{-1} ظاهر شده اند. به طور کلی ظاهر شدن پیک های کربنات به معنی جانشینی مقداری کربن در نمونه هاست که می تواند در نتیجه انجام عملیات سنتز در محیط و جذب کربن از گاز CO_2 موجود در هوا صورت گرفته باشد. باند جذبی ظاهر شده در عدد موج 1383 cm^{-1} به نیترات نسبت داده می شود که در نتیجه از استفاده از نیترات کلسیم چهار آبی به عنوان منبع یون کلسیم حاصل شده است. دو پیک تیزی که در 2850 و 2917 cm^{-1} به وجود دیده می شوند، مربوط به باندهای آلکیلی موجود در CTAB باقیمانده در نمونه ها است.^[۱۲]

۴. نتیجه گیری

۱. استفاده هی زمان از عامل فعال سطحی و کمک عامل فعال سطحی امکان کنترل شکل بلور هیدروکسی آپاتیت را فراهم می کند. مایسل ها همانند الگوهای نرمی برای جوانه زنی و رشد بلورهای هیدروکسی آپاتیت عمل می کنند.

پانوشت

1. co-surfactant
2. template
3. co-template
4. soft template
5. micelle

منابع

1. Koutsopoulos, S. "Kinetic study on the crystal growth of hydroxyapatite", *Langmuir*, **17**, pp. 8092-8097 (2001).
2. Orlovskii, V.P.; Komlev, V.S., and Barinov, S.M. "Hydroxyapatite and hydroxyapatite-based ceramics", *Inorganic Materials*, **38**(10), pp.973-984 (2002).
3. Hoang, Q.Q.; Sicheri, F.; Howard, A.J., and Yang, D.S.C. "Bone recognition mechanism of porcine osteocalcin from crystal structure", *Nature*, **425**(30), pp. 977-980 (2003).
4. Monroe, A. E.; Ward, V.; Ward, D. B., and McMullen, J. "New calcium phosphate ceramic material for bone and tooth implants", *J. Dent. Res.*, **50**, pp. 860-869 (1971).
5. Denissen, H.W., and De Groot, K. "Immediate dental root implants from synthetic dense calcium hydroxyapatite", *J. Prosthet. Dent.*, **42**, pp. 551-556 (1979).
6. Kazemzadeh-Narbat, M.; Orang, F.; Solati-Hashjin, M., and Goudarzi, A. "Fabrication of porous hydroxyapatite-gelatin composite scaffolds for bone tissue engineering", *Iranian Biomedical Journal*, **10**(4), pp.215-223 (2006).
7. Riman, R.E.; Suchanek, W.L.; Byrappa, K.; Chen, C.W., and Oakes, C. "Solution synthesis of hydroxyapatite designer particulates", *Solid State Ionics*, **151**, pp. 393-402 (2002).
8. Benaqqa, C.; Chevalier, J.; Saadaoui, M., and Fantozzi, G. "Slow crack growth behaviour of hydroxyapatite ceramics", *Biomaterials*, **26**, pp. 6106-6112 (2005).
9. Sun, Y.; Guo, G.; Wang, Z., and Guo, H.; "Synthesis of single-crystal HA nanorods", *Ceramics International*, **32**, pp. 951-954 (2006).
10. Liu, Y.; Hou, D., and Wang, G. "A simple wet chemical synthesis and characterization of hydroxyapatite nanorods", *Materials Chemistry and Physics*, **86**, pp. 69-73 (2004).
11. Jarcho, M.; Bolen, C.H.; Thomas, M.B.; Bobick, J.; Kay, J.F., and Doremus, T.H. "Hydroxyapatite synthesis and characterization in dense polycrystalline form", *Journal of Materials Science*, **11**, pp. 2027-2053 (1976).
12. Arita, I.H.; Wilkinson, D.S.; Mondragon, M.A., and Castano, V.M. "Chemistry and sintering behavior of thin hydroxyapatite ceramics with controlled porosity", *Biomaterials*, **16**, pp. 403-408 (1995).
13. Zhang, F.; Zhou, Z.; Yang, S.; Mao, L.; Chen, H., and Yu, X. "Hydrothermal synthesis of hydroxyapatite nanorods in the presence of anionic starburst dendrimer", *Materials Letters*, **59**, pp. 1422-1425 (2005).
14. Lin, K.; Chang, J.; Cheng, R., and Ruan, M. "Hydrothermal microemulsion synthesis of stoichiometric single crystal hydroxyapatite nanorods with mono-dispersion

- and narrow-size distribution”, *Materials Letters*, **61**, pp. 1683-1687 (2007).
15. Yan, L.; Li, Y.; Deng, Z.; Zhuang, J., and Sun, X. “Surfactant-assisted hydrothermal synthesis of hydroxyapatite nanorods”, *International Journal of Inorganic Materials*, **3**, pp. 633-637 (2001).
16. Wang, Y.; Zhang, S.; Wei, K.; Zhao, N.; Chen, J., and Wang, X. “Hydrothermal synthesis of hydroxyapatite nanopowders using cationic surfactant as a template”, *Materials Letters*, **60**, pp. 1486-1487 (2006).
17. Shih, W.J.; Wang, M.C., and Hon, M.H. “Morphology and crystallinity of the nanosized hydroxyapatite, synthesized by hydrolysis using cetyltrimethylammonium bromide (CTAB) as a surfactant”, *Journal of Crystal Growth*, **275**, pp. 2339-2344 (2005).
18. Xiu, Z.; Lü, M.; Gu, F.; Wang, S.; Xu, D., and Yuan, D. “Synthesis and characterization of lead phosphatehydroxyapatite nanoparticles”, *Inorganic Chemistry Communications*, **7**, pp. 604-606 (2004).
19. Karsa, D. R. *Surface Active Behavior of Performance Surfactants*, **3**, Sheffield Academic Press, pp. 500-649 (2000).
20. Pang, Y.X., and Bao, X. “Influence of temperature, ripening time and calcination on the morphology and crystallinity of hydroxyapatite nanoparticles”, *Journal of the European Ceramic Society*, **23**, pp. 1697-1704 (2003).
21. Blakeslee, K.C. and Condrate, R.A. “Vibration spectra of hydrothermal prepared hydroxyapatites”, *Journal of American Ceramic Society*, **54**, pp.559-563 (1971).
22. Cao, M.; Wang, Y.; Guo, C.; Qi, Y., and Hu, C. “Preparation of ultrahigh-aspect-ratio hydroxyapatite nanofibers in reverse micelles under hydrothermal conditions”, *Langmuir*, **20**, pp. 4784-4786 (2004).
23. Panda, R.N.; Hsieh, M.F.; Chung R.J., and Chin, T.S. “FTIR, XRD, SEM and solid state NMR investigations of carbonate-containing hydroxyapatite nano-particles synthesized by hydroxide-gel technique”, *Journal of Physics and Chemistry of Solids*, **64**, pp. 193-199 (2003).